

УДК 004.056, 519.724, 621.391

## ПОТОКОВОЕ ВСТРАИВАНИЕ ИНФОРМАЦИИ В СЛУЧАЙНУЮ ПОСЛЕДОВАТЕЛЬНОСТЬ

студент гр. 014301 Шмат И. В.

*Научный руководитель - канд. техн. наук Ролич О. Ч.*

Белорусский государственный университет  
информатики и радиоэлектроники  
Минск, Беларусь

Встраивание информационного цифрового сигнала (ИЦС) в случайную последовательность представляется как способ защиты или сокрытия информации при её передаче по каналам связи [1]. Предлагаемое встраивание заключается в модуляции информационным сигналом интегральных параметров распределения генерируемой случайной последовательности: математического ожидания, дисперсии, асимметрии, эксцесса. Для обеспечения должного сокрытия ИЦС модулируемая характеристика случайной последовательности должна иметь достаточно высокий порядок. Поэтому в качестве модулируемого параметра при встраивании ИЦС выбирается коэффициент асимметрии, представляющий интегральную характеристику случайной последовательности третьего порядка.

Одним из распространённых распределений с управляемым коэффициентом асимметрии выступает распределение Вейбулла [2]:

$$W(b, x) = b \cdot x^{b-1} \cdot e^{-x^b}. \quad (1)$$

Функции его реализации присутствуют в современных программно-математических средах, что упрощает генерирование случайной последовательности и, соответственно, формирование случайного потокового контейнера (СПК) со встроенным ИЦС [3].

Структура СПК со встроенным ИЦС изображена на рисунке 1. Она включает кадры в виде случайных последовательностей длиной  $L$  каждый с распределением Вейбулла и параметрами  $a_i$  ( $i = 1, 2, 3, \dots, m$ ) асимметрии, прямо пропорциональными значениям встраиваемых отсчётов ИЦС.

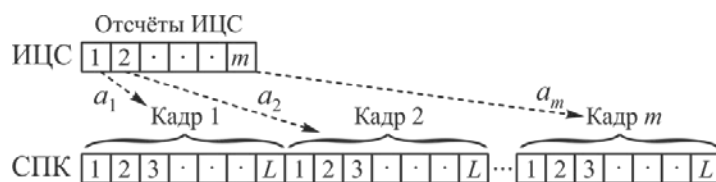


Рис 1. Схема встраивания ИЦС в СПК.

В предлагаемом варианте встраивания ИЦС в СПК встают две задачи:

1. Способ выделения информационного сигнала из СПК.
2. Оценка оптимальной длины  $L$  кадра.

Выделение информационного сигнала из СПК на приёмной стороне возможно как посредством вычисления оценки либо коэффициента асимметрии, либо среднеквадратичного отклонения (СКО) в последовательных выборках, перемещающихся вдоль СПК, с дополнительным нелинейным корректирующим преобразованием, так и путём анализа двумерной гистограммы СПК [4, 5].

Оптимальная длина  $L$  кадра выбирается исходя из оптимизации уровня шумов в кривой, построенной на множестве оценок коэффициента асимметрии или СКО СПК со встроенным в него ИЦС прямолинейной формы.

Для оценки оптимальной длины  $L$  отдельного кадра СПК, в который встраивается отсчёт ИЦС, необходимо определиться с разрядностью и форматом отсчётов ИЦС. Так, в дальнейших рассуждениях применяется 16-разрядный целочисленный беззнаковый тип данных ( $d = 16$ ) с соответствующим диапазоном значений отсчётов от 0 до  $(2^d - 1) = 65535$ .

В распределении (1) Вейбулла на асимметрию влияет параметр  $b$ , и оно приобретает симметричный вид при  $b = b_0 \approx 3.60235$ . Как показывают исследования, при встраивании отсчётов ИЦС в случайную последовательность с распределением Вейбулла параметр  $b$  целесообразно варьировать вблизи  $(b_0/2)$  так, чтобы среднему значению рабочего целочисленного диапазона ИЦС шириной  $2^d$  соответствовало значение  $(b_0/2)$ , и непосредственный диапазон изменений  $b$  являлся симметричным относительно  $(b_0/2)$ .

В этом случае модуляция  $b(f)$  встраиваемого ИЦС  $f_j = j$  ( $j = 0, 1, 2, \dots, (2^d - 1)$ ,  $d = 16$ ) прямолинейной формы запишется в виде:

$$b(f_j) = b_{\min} + \frac{b_0 - 2b_{\min}}{2^d} f_j, \quad (2)$$

где  $f_j$  – отсчёт исходного ИЦС,  $b_{\min}$  – левая граница отрезка  $[b_{\min}, b_0 - b_{\min}]$  изменения параметра  $b$ , определяющего асимметрию распределения (1) Вейбулла,  $d$  – разрядность представления целочисленных беззнаковых отсчётов ИЦС,  $d = 16$ .

Оптимальная длина  $L$  кадра встраивания отсчёта ИЦС оценивается способом компьютерных статистических испытаний путём вычисления для каждого кадра оценки коэффициента  $A$  асимметрии как центрального момента третьего порядка:

$$A(b) = \frac{1}{L} \sum_{l=0}^{L-1} \left( F_l(b) - \frac{1}{L} \sum_{j=0}^{L-1} F_j(b) \right)^2, \quad (3)$$

где  $F_l(b)$  – отсчёт кадра случайной результирующей последовательности СПК,  $l$  – индекс элемента (отсчёта) кадра случайной последовательности СПК,  $l = 0, 1, 2, \dots, (L - 1)$  (на рисунке 1  $l = 1, 2, \dots, L$ ),  $\frac{1}{L} \sum_{j=0}^{L-1} F_j(b)$  – оценка математического ожидания кадра, с последующим

анализом уровня шумов статистической зависимости  $A(b)$ . Анализ уровня шумов целесообразно проводить сравнением результата статистической зависимости (3) с явным выражением для асимметрии:

$$\hat{A}(b) = b \int_0^{\infty} \left( x - b \int_0^{\infty} x^b e^{-x^b} dx \right)^2 x^{b-1} e^{-x^b} dx \quad (4)$$

по формуле суммы квадратов разностей:

$$\sum_b \left( A(b) - \hat{A}(b) \right)^2 < \delta, \quad (5)$$

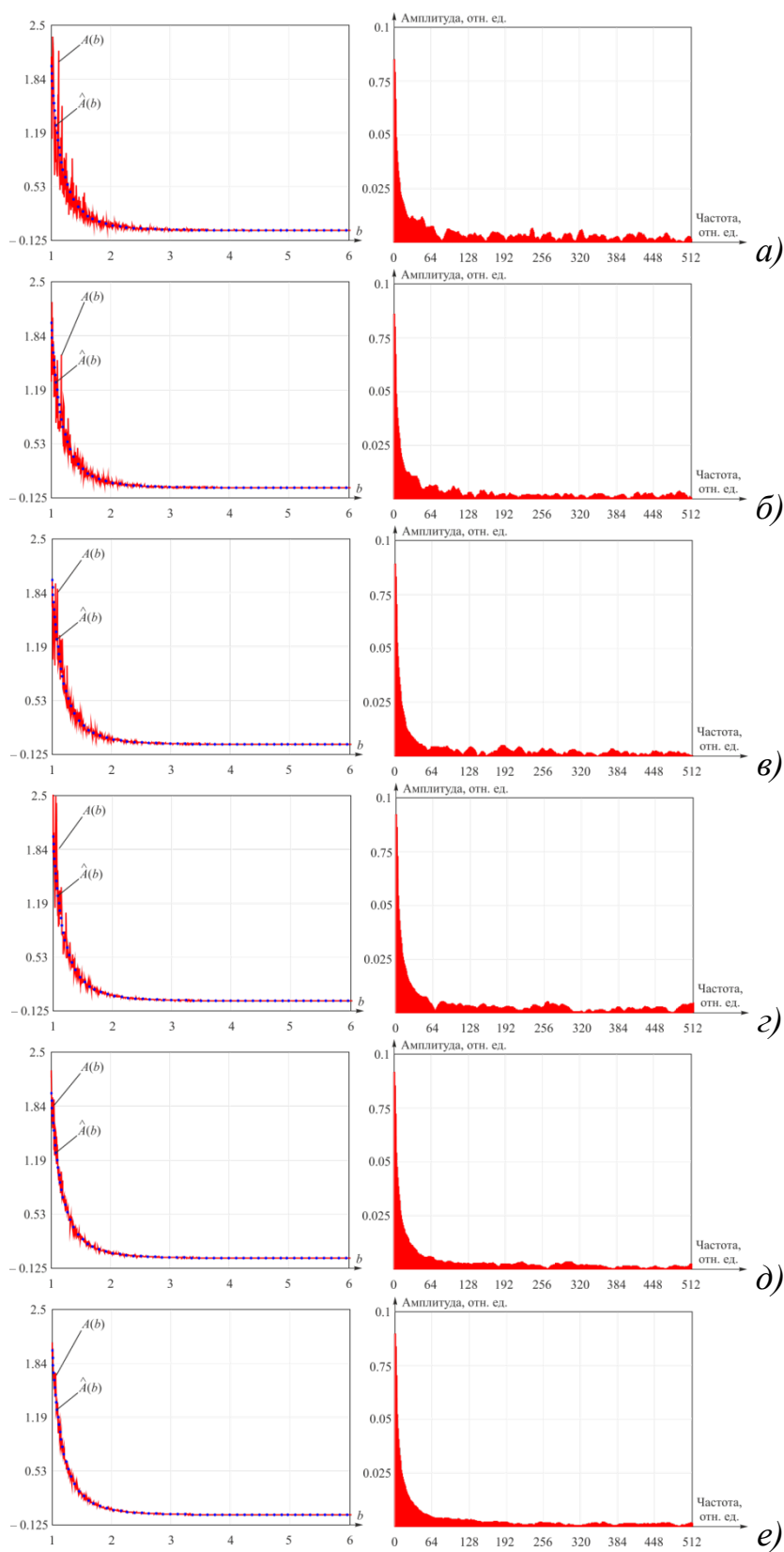
где  $\delta$  – заданный порог,  $\delta > 0$ .

Иными словами, оптимальная длина  $L$  кадра СПК выбирается таким образом, чтобы для заданного  $\delta > 0$  и всех  $b \in [b_{\min}, b_0 - b_{\min}]$  выполнялось условие (5).

На рисунке 2 изображена серия статистических кривых  $A(b)$ , вычисленных по формуле (3), в сравнении с явной кривой  $\hat{A}(b)$  выражения (4), а также соответствующие зависимостям  $A(b)$  амплитудно-частотные характеристики (АЧХ) для  $L = 256, 512, 1024, 2048, 4096, 8192$  и  $16384$ .

Рисунок 2 подтверждает, что с повышением длины кадра уровень шумов снижается. Так, при длине  $L = 16384$  статистическая кривая  $A(b)$  и её АЧХ выглядят значительно более гладкими, чем при  $L = 512$ . Шероховатость области высоких частот статистической кривой  $A(b)$  с увеличением  $L$  также снижается, т.е. и она сглаживается.

Если изменение  $L$  с 256 на 512 или на 1024 влечёт очевидные изменения в АЧХ результирующей статистической кривой, то для  $L = 8192$  и  $16384$  эти изменения малозаметны, и отличия неочевидны. Поэтому, с позиции очевидности изменений АЧХ длину  $L$  кадра следует выбирать около 8192, по крайней мере, не менее 4096.



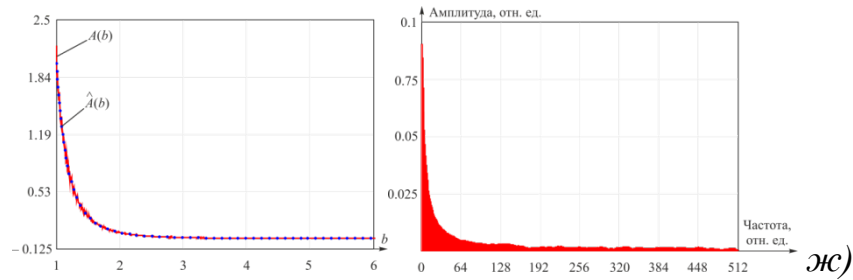


Рис 2. Статистические кривые  $A(b)$  и соответствующие им АЧХ для  $L = 256$  (а),  $L = 512$  (б),  $L = 1024$  (в),  $L = 2048$  (г),  $L = 4096$  (д),  $L = 8192$  (е) и  $L = 16384$  (ж).

Выводы из рисунка 2 подтверждают и данные таблицы 1, где представлены среднестатистические суммы квадратов разностей для различной длины  $L$  кадра.

Таблица 1. Зависимость среднестатистических сумм квадратов разностей от длины  $L$  кадра СПК.

$L$	$\sum_b (A(b) - \hat{A}(b))^2$	$L$	$\sum_b (A(b) - \hat{A}(b))^2$	$L$	$\sum_b (A(b) - \hat{A}(b))^2$	$L$	$\sum_b (A(b) - \hat{A}(b))^2$
56	8.67	024	3.52	096	1.10	6384	0.20
12	4.34	048	3.80	192	0.42		

Согласно таблице 1 увеличение  $L$  вдвое сначала ведёт к значительному снижению среднестатистической суммы квадратов разностей  $A(b)$  и  $\hat{A}(b)$  (см. формулу (5)), также примерно в два раза, затем к её заметному снижению (переход от  $L = 512$  к 1024 или от 1024 к 2048) и последующему повторному достаточно резкому росту её уменьшения (переход от  $L = 2048$  к 4096 или от 4096 к 8192, или от 8192 к 16384).

Выбирая порог  $\delta$ , равным 0.5, рекомендуемая длина  $L$  кадра СПК, согласно таблице 1, равна 8192 элемента.

В восстановлении информационного сигнала и его выделении из СПК путём вычисления изменения во времени оценки коэффициента асимметрии применяется зависимость  $b(A)$ , обратная (4), с последующим вычислением информационных отсчётов по формуле, обратной (2).

Результаты встраивания тестового ИЦС гармонической формы длиной  $m = 64$  16-разрядных беззнаковых отсчётов в СПК на базе распределения Вейбулла и его восстановления отражены на рисунке 3.

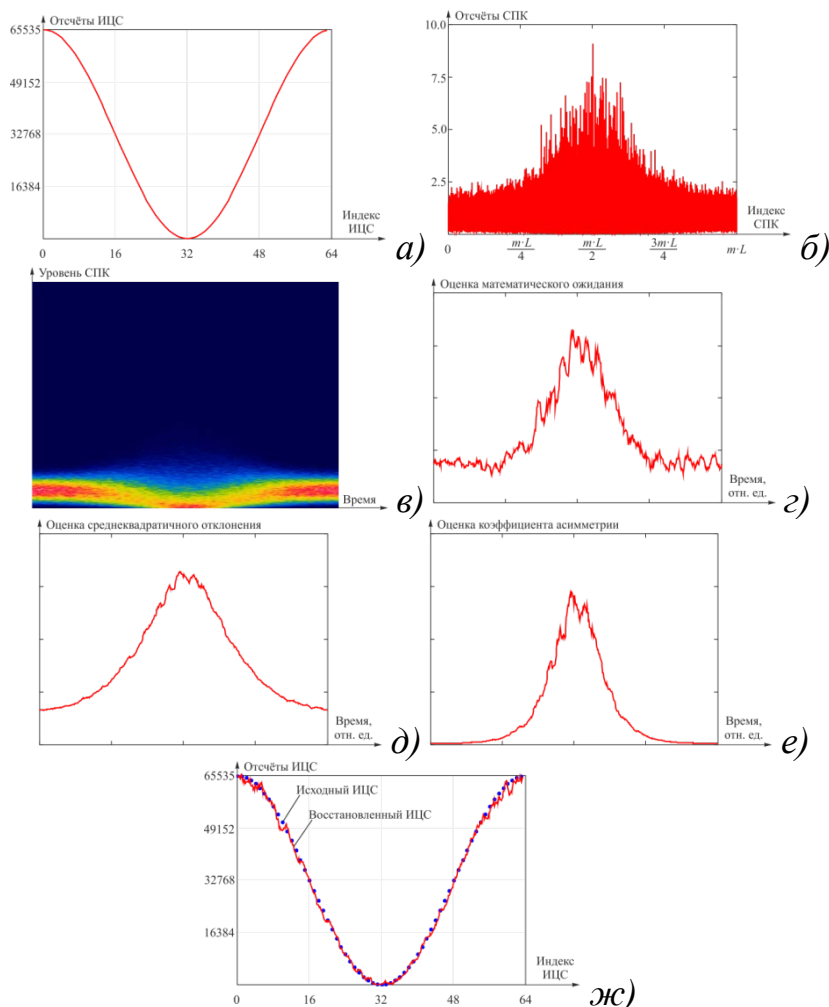


Рис 3. Результаты встраивания и восстановления ИЦС гармонической формы:

- a)* – исходный ИЦС; *б)* – СПК на базе распределения Вейбулла со встроенным ИЦС; *в)* – двумерная гистограмма СПК с учётом прямоугольного окна;
- г)* – изменение оценки математического ожидания для СПК со встроенным ИЦС;
- д)* – изменение оценки СКО для СПК со встроенным ИЦС;
- е)* – изменение оценки коэффициента асимметрии для СПК со встроенным ИЦС;
- ж)* – выделенный из СПК информационный сигнал с учётом корректирующей зависимости  $b(A)$ , обратной (4).

Согласно представленным результатам, форма встроенного ИЦС в СПК на рисунке 3, (*б*) неочевидна. Но эта «неочевидность» проявляется в двумерной гистограмме, изображённой на рисунке 3, (*в*) [4, 5].

По приведённым изменениям оценок математического ожидания, СКО и коэффициента асимметрии наименьшую шероховатость, т.е. наибольшую гладкость имеет зависимость оценки СКО. Поэтому, несмотря на основную идею встраивания ИЦС в моменты относительно высокого

порядка, в частности, в асимметрию, для качественного восстановления информационного сигнала следует использовать изменение оценки СКО.

Восстановленный же из СПК информационный сигнал по изменению оценки коэффициента асимметрии с учётом корректирующей функции  $b(A)$ , обратной к функции (4), изображён на рисунке 3, (ж). Следует отметить, что восстановленный сигнал достаточно точно описывает исходно встраиваемый тестовый ИЦС.

Главным выводом проведённых исследований и представленных результатов является требование к усложнению вида базового распределения. Для повышения сокрытия встраиваемого ИЦС распределение должно характеризоваться полимодальностью с асинхронной и неравномерной динамикой мод в зависимости от модулируемого момента высокого порядка, в частности, коэффициента асимметрии. В противном случае исходный сигнал проявляется на двумерной гистограмме и, очевидно, может быть выделен посредством её пикового анализа.

Автором разработана компьютерная программа автоматизации исследования процесса встраивания определённого пользователем ИЦС в случайную последовательность с заданным законом распределения, а также редактор встраивания аудиосигнала в случайную последовательность с распределением Вейбулла с возможностью его последующего восстановления.

### *Литература*

1. Урбанович, П. П. Защита информации методами криптографии, стеганографии и обфускации / П. П. Урбанович. Минск: БГТУ, 2016. – 220 с.
2. ГОСТ Р 50779.27–2017 «Национальный стандарт Российской Федерации. Статистические методы. Распределение Вейбулла. Анализ данных» [Электронный ресурс]. – 2021. – Режим доступа : <https://files.stroyinf.ru/Data/649/64919.pdf>.
3. Алефиренко, В. М. Основы защиты информации / В. М. Алефиренко. Минск: БГУИР, 2004. – 44 с.
4. Тарасенко, В. Е. Алгоритмы обработки сигналов в интегрированной системе виброакустической и тепловой диагностики дизельных двигателей / В. Е. Тарасенко, О. Ч. Ролич, Д. А. Михаевич // Агропанорама. – 2020. – № 6 – С. 38 – 41.
5. Пурькова, М. В. Алгоритм статистического анализа данных / М. В. Пурькова, О. Ч. Ролич // Интеллектуальные, сенсорные и мехатронные системы-2021: сборник научных трудов (по материалам студенческих научно-технических конференций). – Минск: БНТУ, 2021. – С. 26 – 28.